ESTUDÓ DA DESCARGA NA MÁQUINA DE PLASMA QUIESCENTE DO INPE

Ferreira, J.G.; Ferreira, J.L.; Ludwig, G.O. (Lab. Associado de Plasma, INPE) Maciel, H.S. (Departamento de Física, ITA)

RESUMO

São apresentadas medidas que caracterizam principais parametros do plasma produzido na maqui na de plasma quiescente do INPE para diversos valo res de pressão e potencial de descarga e corrente de 500mA. Verifica-se que a densidade varia de cerca de $10^8 {
m cm}^{-3}$ a $10^{10} {
m cm}^{-3}$ e a energia média dos elétrons se sítua entre leV e cerca de 10eV. A distribuição de energia dos elétrons é não-maxwelliana e corres ponde a uma população de elétrons primários de alta energia (dezenas de eV) e a duas populações de elé trons com temperaturas abaixo de 10eV. O potencial do plasma é tipicamente de 1V a 3V em relação ao ano do, mas cai rapidamente para valores negativos quan do a pressão se aproxima de 10-3 Pa. Interpretações qualitativas dos resultados obtidos são fornecidas e um modelo simples para a densidade do plasma é com parado aos valores experimentais. As condições operação do catodo são também investigadas.

1. INTRODUÇÃO

Um dos métodos mais interessantes de obtenção de plasmas de baixas temperaturas (Te < 10eV) é que utiliza descargas termoiônicas com confinamento magnético multipolar. A descarga, com uma queda de potencial de ∿30V a ∿150V, é operada entre um cato do quente emissor de elétrons e um anodo, constituí do geralmente pela própria câmara de vácuo, cuja su perfície é revestida com imas permanentes arranja dos em uma configuração multidipolar. Esta configu ração produz um campo magnético que se restringe a região proxima a parede mas aumenta consideravelmen te o aproveitamento dos elétrons emitidos do catodo, refletindo-os de volta para o interior do plasma di versas vezes antes que se percam para as paredes. A maior parte do volume do plasma permanece livre de campos elétricos ou magnéticos intensos. Com es te tipo de fonte é possível gerar, em regime plasmas de grande volume, boa uniformidade, ruído e com densidades numa ampla faixa de valores (107 - 1012 cm-3), características que tornam fontes muito adequadas tanto ao estudo de fenomenos básicos de física de plasma, quanto a extração feixes de ions de grande seção transversal para apli cações como propulsão iônica, tratamento de superfí cies ou injeção de partículas neutras em experimen tos de fusão termonuclear controlada.

A maquina de plasma quiescente do INPE, denomi nada PQUI, em operação desde 1981, vem sendo utili zada desde então em estudos de caráter fundamental e no desenvolvimento de técnicas básicas de diagnos tico de plasma (Ferreira, 1986). Recentemente, po rém, os trabalhos têm se voltado para questões liga das a formação e eficiência da descarga, tendo vista o uso deste tipo de descarga em outras aplica ções, no âmbito do Laboratório Associado de Plasma do INPE (LAP/INPE). Estas aplicações são a são iônica, com um protótipo em operação no LAP/INPE desde 1986 (Sandonato et al., 1987), e, mais recen temente, o desenvolvimento de fontes mais potentes para extração de feixes intensos de ions de hidrogê nio, úteis em experimentos de fusão nuclear. apresentadas aqui as medidas feitas para a caracte rização do comportamento dos principais parâmetros do plasma sob várias condições de operação da carga. Algumas informações relacionadas a operação do catodo são também fornecidas. Os valores experi mentais obtidos são apresentados na Seção 3 e discu tidos na Seção 4. Antes, porem, na Seção 2, é dada uma breve descrição do dispositivo experimental do metodo de medição dos parâmetros do plasma.

2. DESCRIÇÃO DO EXPERIMENTO

A Figura l representa esquematicamente a PQUI, na configuração utilizada para as medições a serem apresentadas aqui. Ela é constituída por um recipiente de vácuo cilíndrico, de aço inoxidável não magnetizável, com diâmetro interno de 32cm e comprimento de 83cm. Antes de se introduzir o gás desejado, a câmara é evacuada a pressões da ordem de 2 × 10⁻⁴ Pa por intermédio de uma bomba difusora de 280%/s. Uma armadilha de nitrogênio líquido permite obter uma redução adicional na pressão de cerca de três

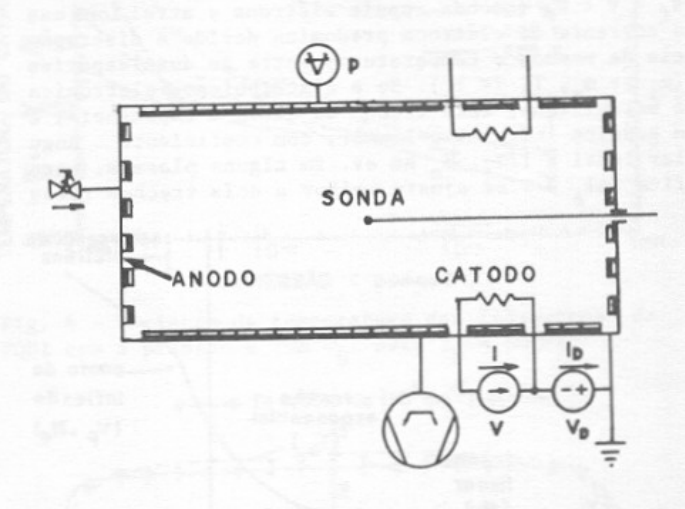


Fig. 1 - Esquema da maquina de plasma quiescente do INPE (PQUI).

vezes, o que possibilita trabalhar em pressões aci ma de 10-3 Pa sem contaminação excessiva do gás esco lhido. Os imas de ferrita do campo superficial de confinamento são montados internamente à câmara de vácuo numa configuração multidipolar com cúspides li neares inteiriças (24 fileiras de imas distribuídas no perimetro da câmara, cada qual formada pela jus taposição de imas lado a lado, na direção longitudi nal da câmara, com a mesma polaridade de imas em to da uma fileira mas alternada de uma fileira para ou tra). A face dos imas é protegida do contato direto com o plasma por lâminas de alumínio sobre as quais o valor médio do campo é da ordem de 0,08T.

O circuito da descarga é constituído por um ca todo formado por 8 filamentos de tungstênio (diâme tro ~0,1mm, comprimento ~95mm) aquecidos por uma fon te de corrente de 20A e polarizados em relação ao anodo por uma fonte de 120V, 2A. O anodo (a própria parede da câmara) é tomado como referência e ligado ao terra do laboratório. Um circuito eletrônico de controle foi utilizado para estabilizar a corrente da descarga ID, tendo como entrada um sinal de ten são proporcional a ID e como saída um sinal que atua sobre a fonte de corrente dos filamentos, aquecendo ou esfriando os filamentos de modo a manter ID fixa no valor desejado.

Para medir os parâmetros do plasma foi usado o método da sonda de Langmuir (Ferreira, 1986): um pe queno eletrodo metálico é introduzido no plasma coleta uma corrente devido ao impacto das particu las carregadas do plasma; a corrente coletada depen de da geometria do eletrodo, do potencial aplicado a ele e das propriedades do plasma, de modo que a curva característica V × I da sonda (Figura 2) per mite obter varias informações sobre o plasma. O pon to de inflexão da curva fornece o valor do potencial de plasma $V_{\rm p}$ e a corrente coletada pela sonda neste ponto informa sobre a densidade $n_e = n_i$. O potencial V_f para o qual a corrente da sonda é nula é chamado potencial flutuante e a diferença V_p - V_f está rela cionada à energia média dos elétrons. No intervalo $V_{\rm f}$ < V < $V_{\rm p}$ a sonda repele elétrons e atrai ions mas a corrente de elétrons predomina devido à discrepan cia de massas e temperaturas entre as duas especies $(m_i^{} >> m_e^{}, T_i^{} << T_e^{})$. Se a distribuição eletrônica é maxwelliana, este trecho da curva é exponencial e o gráfico $\ln I_e \times V$ é linear, com coeficiente angular igual a $1/T_e$, T_e em eV. Em alguns plasmas, o grá fico lnI × V se ajusta melhor a dois trechos retos

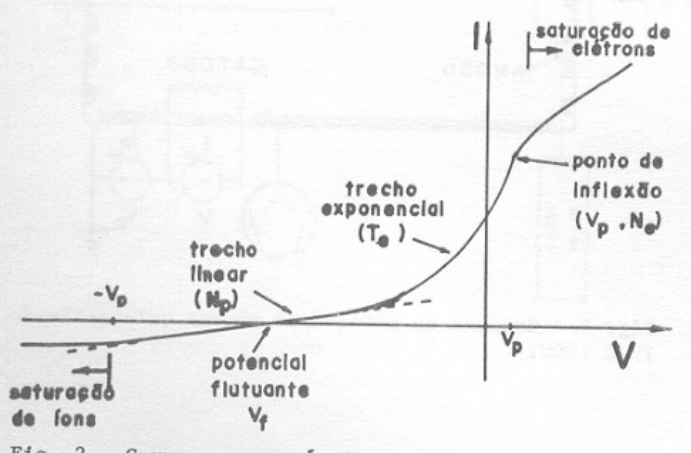


Fig. 2 - Curva característica da sonda de Langmuir.

consecutivos, com um coeficiente angular maior pro ximo a $V_{
m p}$ e outro menor próximo a $V_{
m f}$ correspondendo respectivamente a uma temperatura fria T_f e uma tem peratura quente Tg. Isto e observado no plasma PQUI, como se vera mais adiante. Os eletrons rios emitidos do catodo também se manifestam na cur va característica. Por possuírem energia bem maior que os elétrons secundários gerados na ionização ou ejetados das superfícies de contorno, eles são cole tados mesmo quando o potencial da sonda é muito ne gativo. Sua presença afeta o potencial flutuante e a forma da curva para V \lesssim V_f e sua densidade n_p de ser estimada a partir deste trecho da curva I x V, que e aproximadamente linear, com coeficiente an gular proporcional a n_p, para eletrons primarios mo noenergéticos. Maiores detalhes sobre a medição dos parâmetros do plasma usando sondas de Langmuir são fornecidos por Ferreira (1986).

3. RESULTADOS EXPERIMENTAIS

Os parametros principais do plasma por uma descarga em argônio foram medidos para uma corrente de descarga fixa em 500mA e para diversos valores de pressão e potencial de descarga. Os sultados obtidos estão nas Figuras 3, 4 e 5 e foram medidos no centro da câmara com uma sonda esférica de 1mm de diâmetro. Nota-se que a densidade do plas ma cresce de forma aproximadamente linear com a pres são, para pressões abaixo de 10⁻²Pa, mas tende a sa turar para pressões maiores. Já o potencial do plas ma mantém-se razoavelmente estável em um valor ordem de 1V a 3V em relação ao anodo, exceto no ex tremo inferior de pressão em que tende a cair rapī damente para valores negativos. A distribuição de energia dos elétrons revelou-se não-maxwelliana em praticamente toda a faixa de pressão estudada, sen do melhor descrita pela superposição de duas maxwel lianas com temperaturas distintas, cujos valores são mostrados na Figura 5. No extremo superior de pres são observa-se, porém, a termalização das duas popu

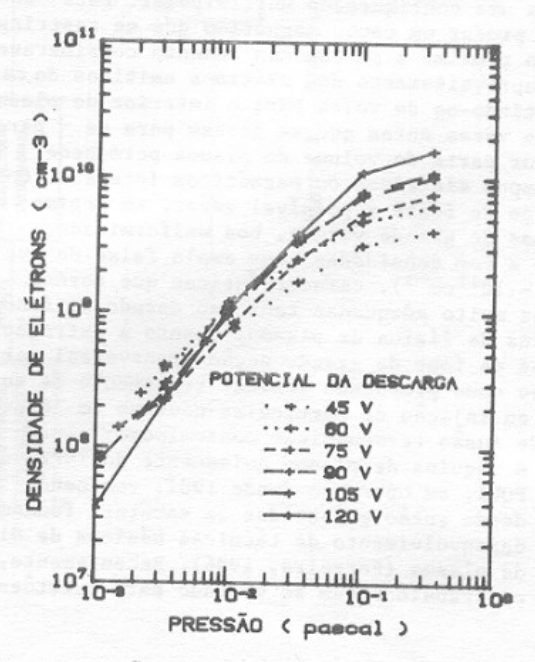


Fig. 3 - Variação da densidade do plasma com a pressão e o potencial da descarga.

lações em uma só, com temperatura da ordem de leV. Observa-se também que a influência dos elétrons pri mários sobre a curva característica diminui com a pressão, o que indica que a densidade dos elétrons primários mantém-se razoavelmente constante enquan to a dos elétrons secundários cresce acentuadamente com a pressão. As curvas obtidas em baixas pressões permitiram estimar em carca de 5 × 10⁷cm⁻³ a densidade de primários.

Um estudo das condições de operação do catodo foi feito determinando-se a temperatura dos filamen tos. Uma estimativa razoavel da mesma pode ser obti da medindo-se simplesmente a corrente de aquecimen to I e a queda de tensão V sobre os filamentos. De fato, nas condições em que são operados na PQUI, a unica fonte significativa de aquecimento dos fila mentos é a dissipação ôhmica associada à corrente I, enquanto a perda de calor ocorre essencialmente por radiação térmica. Logo, pode-se escrever VI = 2πRLε (T)oT4, onde R e L são respectivamente o raio e comprimento do filamento, o é a constante de Stefan-Boltzmann e $\epsilon(T)$ é a emissividade do material do fi lamento (no caso, tungstênio) à temperatura T. Usan do também a lei de Ohm escrita na forma $V/I = \rho(T)L/$ πR^2 , onde $\rho(T)$ é a resistividade, é possível obter T e R dados V e I. É fácil concluir destas equações que $(V/L)I^{1/3}$ é função apenas de T, isto é, não de pende do raio do filamento, o que permite obter dados V e I sem que se precise saber o valor de R. Determinada a temperatura, o raio do filamento pode ser obtido usando a lei de Ohm e assim pode-se ava liar o estado de desgaste dos filamentos sem abrir a câmara de vácuo. Valores tabelados de (V/L)I1/3 x T e de $\rho(T)$ são fornecidos por Espe (1965).

A Figura 6 mostra os valores de temperatura es timados como explicado acima. Nota-se que, para Inconstante, a temperatura varia relativamente pouco (~2400 - 2600K) para uma ampla faixa de valores de pressão e potencial de descarga. A Figura 7 mostra perfis radiais de densidade e temperatura de elétrons que revelam variações significativas apenas a menos de 5cm de distância dos imãs, onde a influência do campo magnético ainda se faz sentir, confirmando assim a uniformidade que caracteriza o plasma neste tipo de descarga.

4. DISCUSSÃO DOS RESULTADOS

A Figura 8 mostra a densidade de corrente ter moiônica JT emitida pelos filamentos, obtida da tem peratura dos filamentos (Figura 6) e de tabelas de propriedades do tungstênio (Espe, 1965). Esta figu ra mostra também o resultado da divisão da corrente da descarga (500mA) pela área total dos 8 tos de diametro nominal 107µm e comprimento 9,3cm. O valor obtido (0,2A/cm2) corresponde à fra ção dos elétrons emitidos que efetivamente partici pa da corrente da descarga. Em pressões muito xas uma parcela dos elétrons emitidos não consegue ultrapassar a carga espacial negativa formada próxi mo ao filamento e a corrente é limitada por espacial (JT > 0,2A/cm2). Em pressões mais elevadas os fons cancelam a carga espacial, todos os elétrons emitidos contribuem para a corrente da descarga, e o filamento opera limitado por temperatura (JT tre os dois regimes ocorre na faixa de 10^{-3} a 10^{-2} Pa. A taxa de sublimação do material do filamento pode ser determinada da mesma forma que J_T e se re

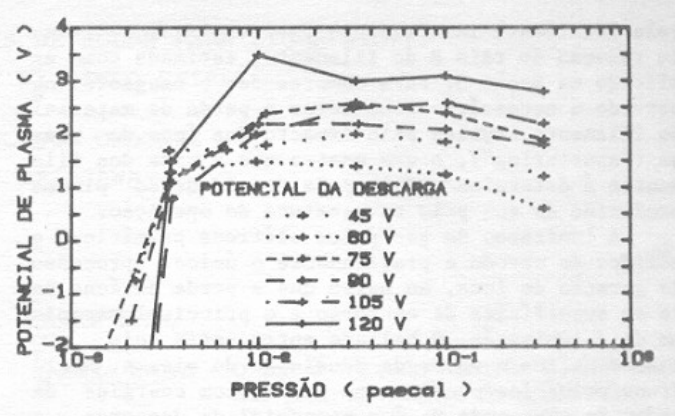


Fig. 4 - Comportamento do potencial do plasma com a pressão e o potencial da descarga.

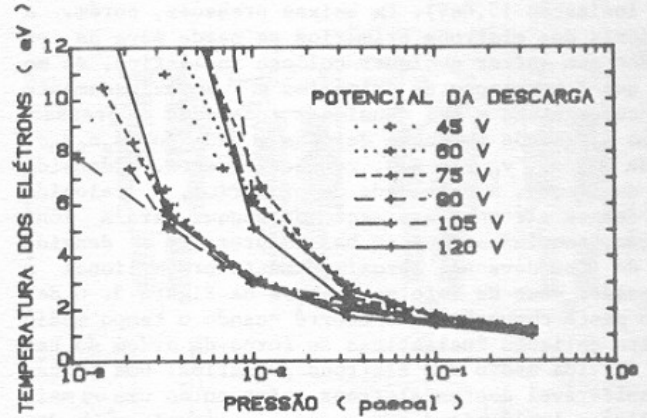


Fig. 5 - Comportamento das duas temperaturas observadas na população de elétrons da PQUI.

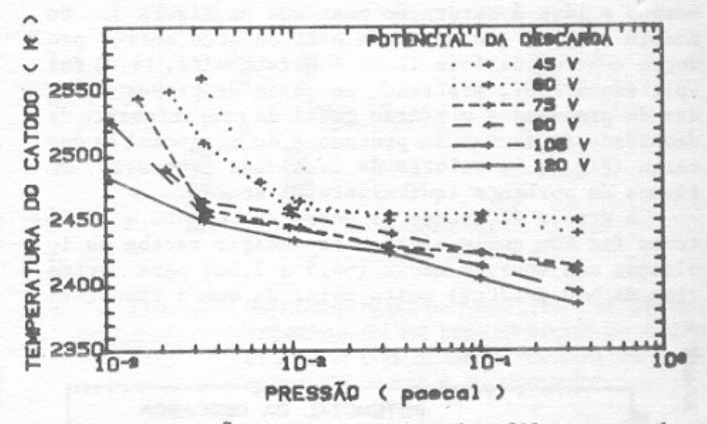


Fig. 6 - Variação da temperatura dos filamentos da PQUI com a pressão e com $V_{\rm D}$, para $I_{\rm D}$ = 500mA.

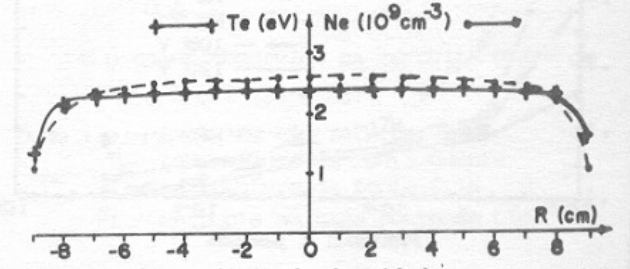


Fig. 7 - Perfis radiais de densidade e temperatura de elétrons na PQUI.

vela totalmente insuficiente para explicar a taxa de redução do raio R do filamento, estimada como ex plicado na Seção 3. Para compreender o desgaste observado é necessário considerar a perda de material do filamento causada pelo impacto dos fons do plas ma ("sputtering"), o que mostra que a vida dos filamentos é determinada mais pela densidade do plasma produzido do que pela temperatura de operação.

A ionização do gas pelos eletrons primários e mitidos do catodo é praticamente o único processo de geração de fons, ao passo que a perda de fons pa ra as superfícies de contorno é o principal mecanis mo de deionização. O balanço entre estes dois cessos define o valor da densidade do plasma. Os ele trons primários penetram no plasma com energias da ordem de eVD, onde VD é o potencial da descarga, e perdem energia em colisões inelásticas com os mos de argônio (limiar de excitação 11,5eV; limiar de ionização 15,6eV). Em baixas pressões, porem, a maioria dos elétrons primários se perde para as pa redes sem sofrer qualquer colisão inelástica, de mo do que a população de primários é aproximadamente monoenergetica e sua densidade independe da pressão. Como a taxa de produção de fons é dada por ngnpvpo, onde n_g , n_p , v_p e σ são, respectivamente, a densida de de atomos, a densidade de primarios, a velocida de destes elétrons e a seção de choque para a ioni zação, conclui-se que em baixas pressões a densida de de fons deve ser aproximadamente proporcional à pressão, como de fato se observa na Figura 3. O des vio deste comportamento ocorre quando o tempo medio entre colisões inelasticas se torna da ordem do tem po de vida médio dos elétrons primários. Uma fração consideravel destes elétrons sofre então uma ou mais colisões inelasticas com o gas e a energia media dos eletrons primários presentes no plasma decresce com a pressão, o que reduz a capacidade de ionização dos mesmos e leva à saturação mostrada na Figura 3. Um modelo simples que descreve este balanço entre pro dução e perda de ions (Lang & Hershkowitz, 1978) foi aplicado à PQUI, mostrando-se capaz de prever a or dem de grandeza e o padrão geral de comportamento da densidade em termos da pressão e do potencial da des carga (Figura 9; valores de densidade expressos em termos da corrente equivalente da sonda).

A grande diferença de massa entre ions e elétrons faz com que o elétron secundário receba na ionização uma energia média (~4,5 a 7,5eV para primários de ~50 a 120eV) muito maior do que a transferi

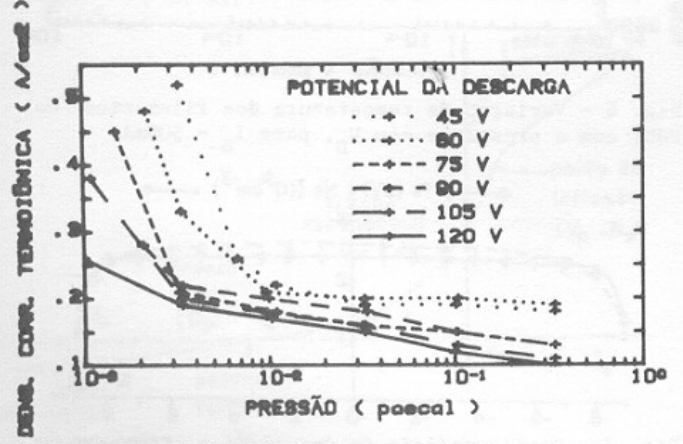


Fig. 8 - Densidade de corrente emitida pelos filamentos, prevista com base na Figura 6.

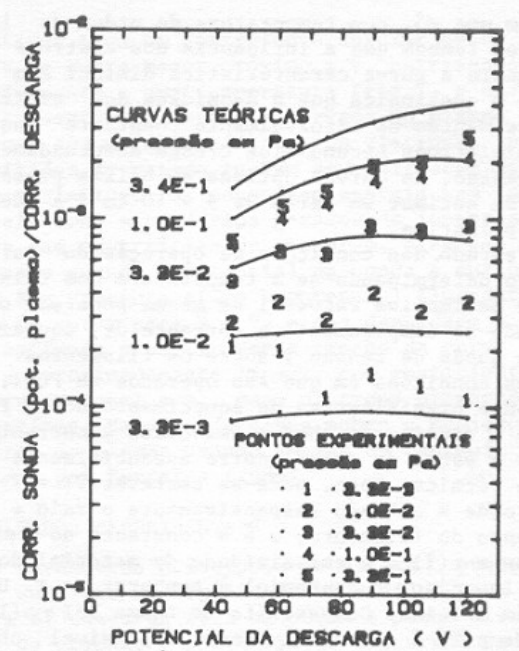


Fig. 9 - Comparação dos valores experimentais de den sidade de plasma (corrente de sonda) com valores previstos por um modelo teórico simples.

da ao fon. Isto, aliado à diferença de massas, tor na a velocidade dos elétrons muito maior e, conse quentemente, também a perda de elétrons para as su perfícies tende a superar a dos fons. Para preservar sua neutralidade, o plasma adquire então um poten cial geralmente positivo em relação ao anodo. A Fi gura 4 mostra que isto não ocorre em baixas sões, o que se deve à presença dos eletrons rios, cuja densidade não cai com a pressão, como o corre com os fons. Quando Vp > 0, o plasma é positi vo em relação a todas as superfícies de contorno, in clusive o anodo, de modo que os elétrons com ener gia E < eV_p ficam aprisionados e tendem a predominar na distribuição eletrônica. Outro fator que afeta es ta distribuição e principalmente o potencial de plas ma é a emissão de elétrons secundários das superfí cies de contorno, que é sensível ao estado de conta minação destas superfícies e, por isso, dificulta a obtenção de valores reprodutíveis para Vp.

5. REFERÊNCIAS BIBLIOGRÁFICAS

ESPE, W. Materials of high vacuum technology, volume 1: metals and metalloids. Oxford, Pergamon, 1966.

FERREIRA, J.L. Fenômenos acustico-iônicos lineares e não-lineares em descargas multi-dipolo magnéticas. Tese de Doutorado em Fisica de Plasmas. São José dos Campos, INPE, set. 1986. (INPE-4100-TDL/257).

LANG, A.; HERSHKOWITZ, N. Multidipole plasma density. *Journal of Applied Physics*, 49(9):4707-4710, Sept. 1978.

SANDONATO, G.M.; FERREIRA, J.L.; FERREIRA, J.G.; LUDWIG, G.O.; MONTES, A. Propulsor iônico (PION 1): testes e resultados preliminares. São José dos Campos, INPE, jun. 1987. (INPE-4200-RPE/545).